

Semiconductor Materials

2024/07/17

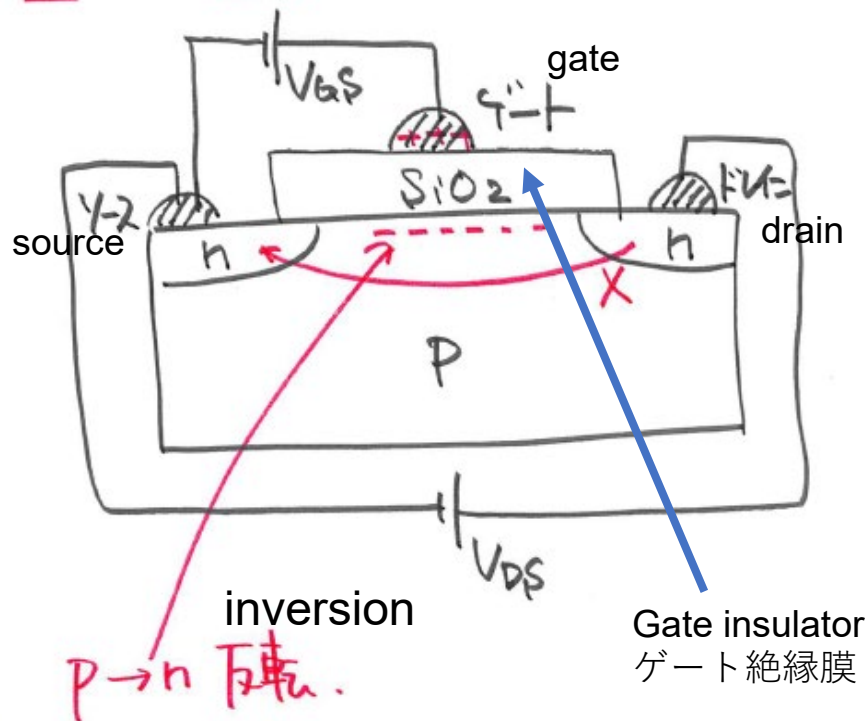
材料工学科 Department of Materials Science

弓野健太郎 Kentaro Kyuno

電界効果トランジスタ.

MOS FET.

Metal Oxide Semiconductor Field Effect Transistor.



N-channel transistor

増幅. amplification

スイッチ. switch



Logic circuit

論理回路(CPU)

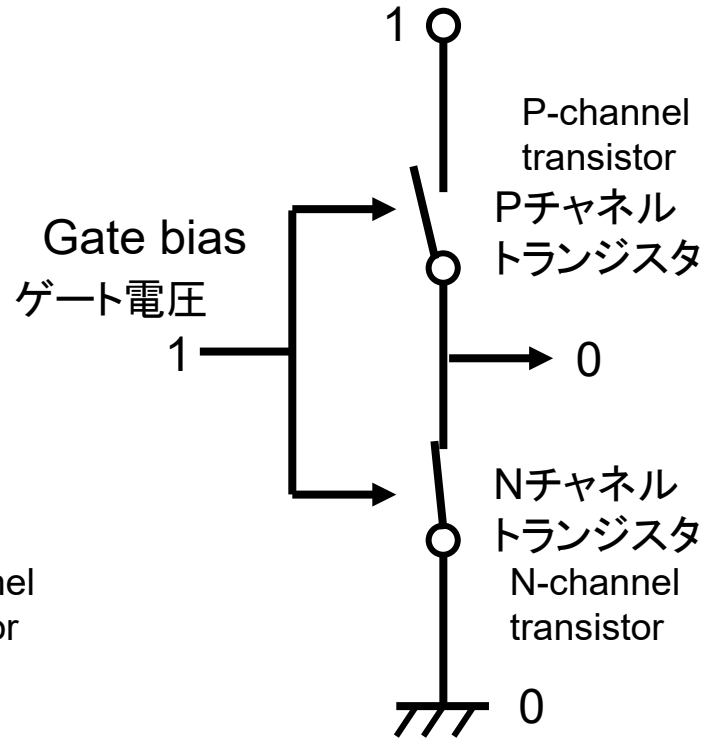
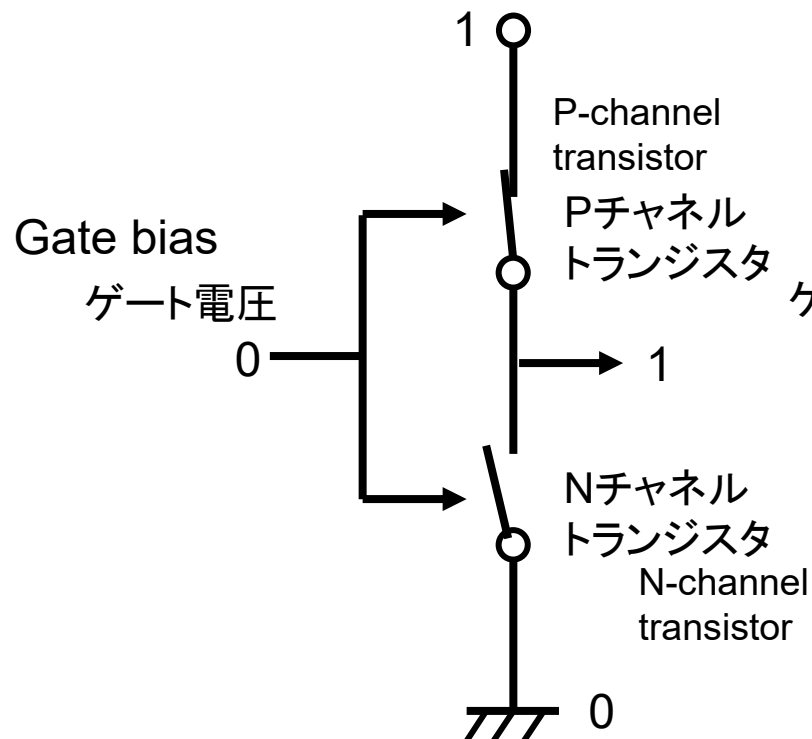
- Xメモリ Memory device

- ディスプレイ. Display device

Display device

NOT 回路

NOT circuit (inverter)



AND, OR circuits

AND, OR回路も作製可能

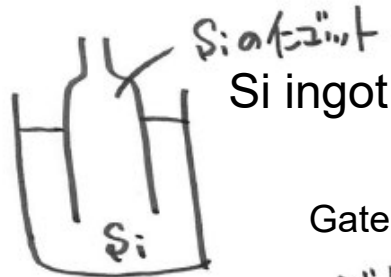


Logic circuit, memory device

論理回路、メモリ

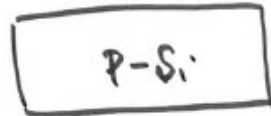
Fabrication of MOSFET on a Si wafer

トランジスタの作製プロセス

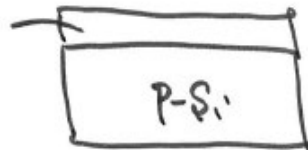


Gate insulator
ゲート絶縁膜

SiO₂



↓ 熱酸化
oxidation

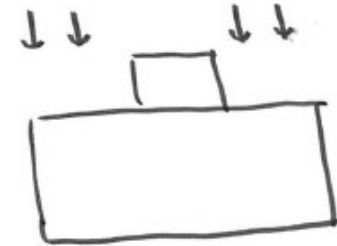


↓ エッチング
etching

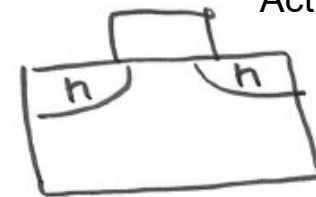


Ion implantation of donors

n型不純物のイオン注入



↓ 活性化アニール
Activation annealing



electrodes

↓ 電極作製

gate

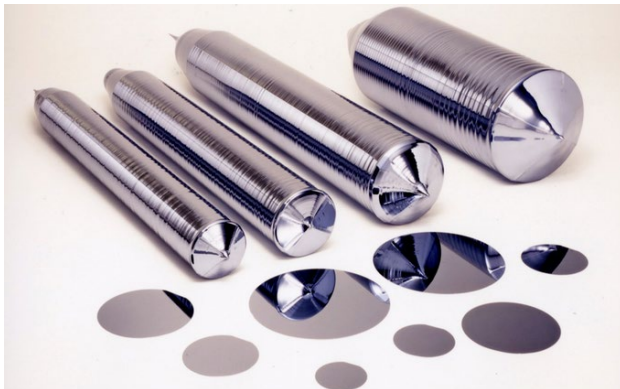
polysilicon



ムーアの法則

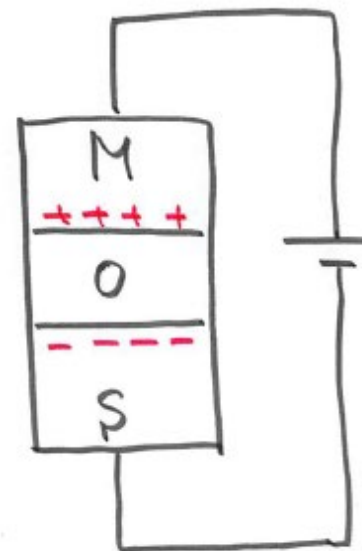
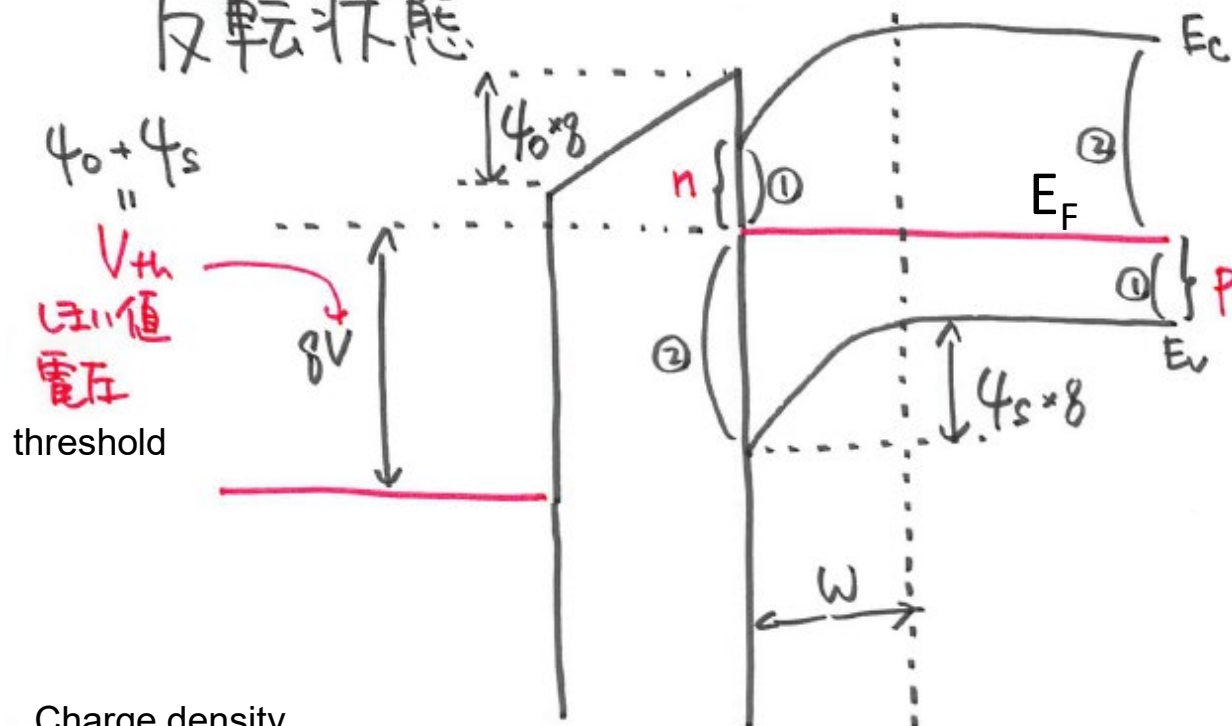
Moore's law

Number of transistors on a chip
doubles in 1.5 ~ 2 years



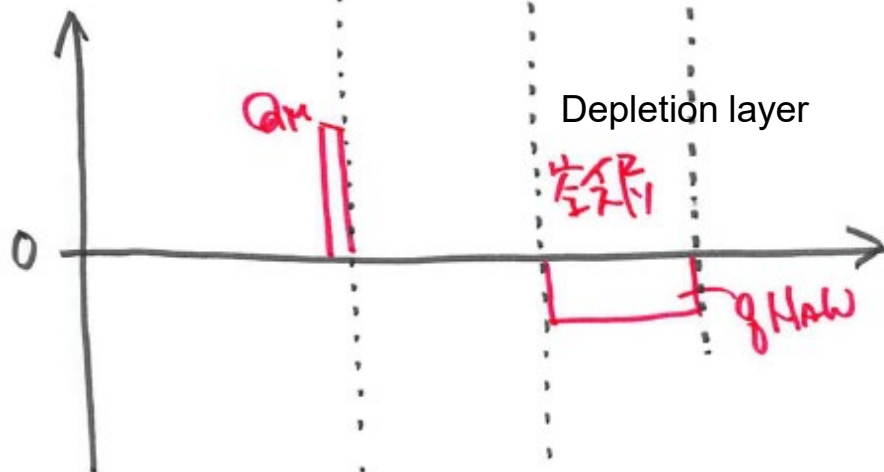
Inversion

反転状態



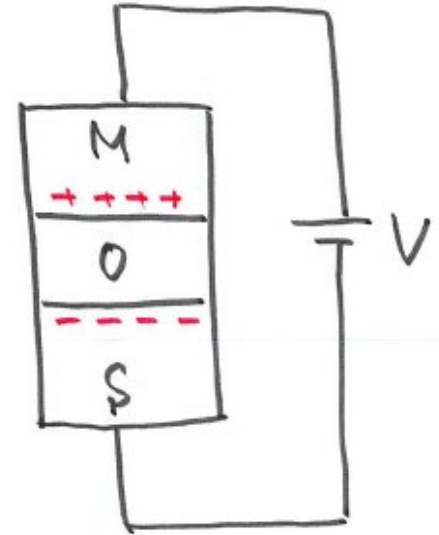
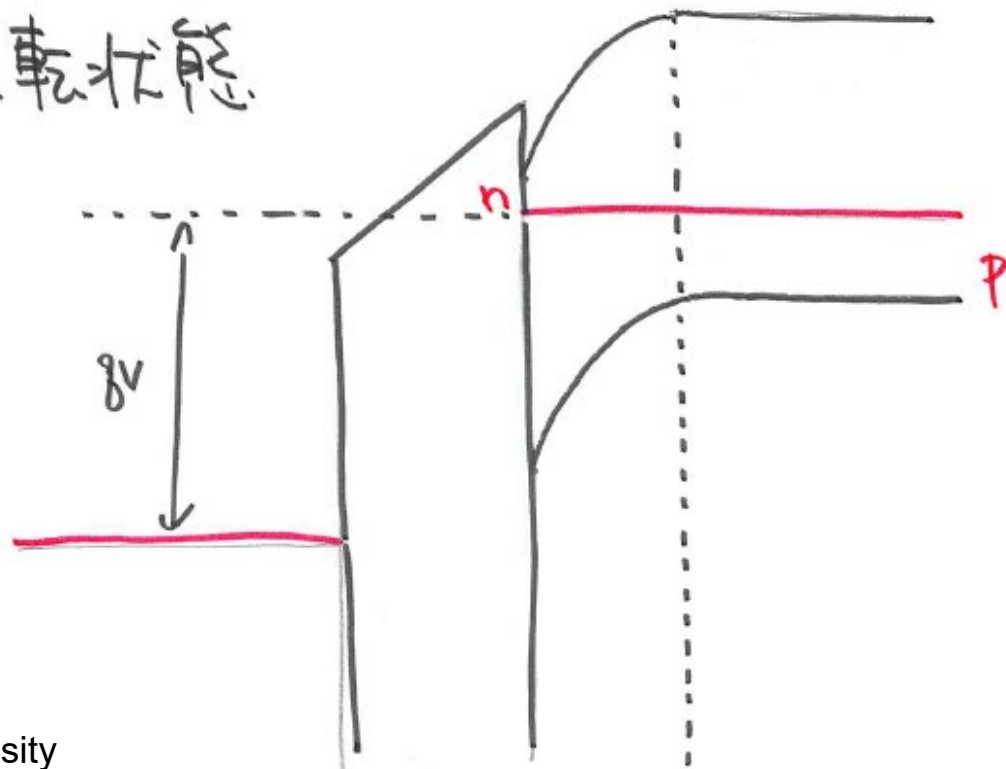
Charge density

電荷密度



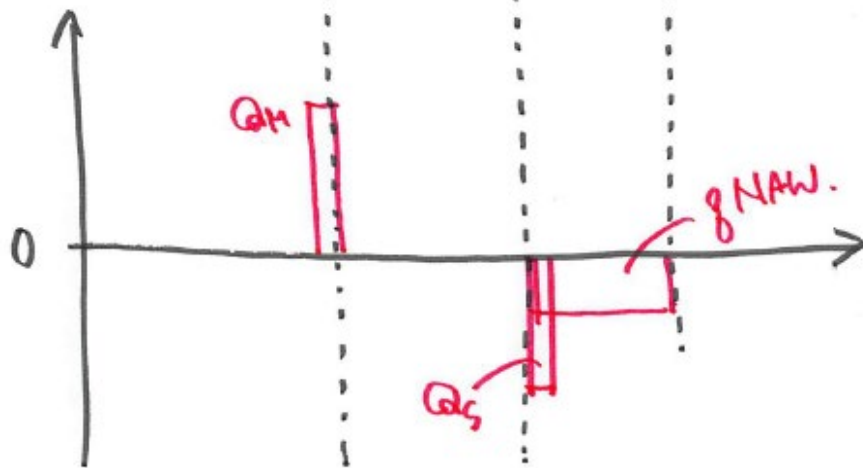
Strong inversion

強反轉狀態



Charge density

電荷
密度



Exercise1

Derive the surface potential (Ψ_s) at the onset of inversion when the acceptor density in Si (N_A) is $1 \times 10^{16} / \text{cm}^3$.

Si のアクセプター濃度(N_A) を $1 \times 10^{16} / \text{cm}^3$ とする。
反転状態における表面ポテンシャル (Ψ_s) を求めよ。

Band gap
Si のバンドギャップ $E_g = 1.12 \text{ eV}$, $kT = 0.026 \text{ eV}$ at 300 K ,
 $N_v = 2.66 \times 10^{19} / \text{cm}^3$, $g = 1.6 \times 10^{-19}$
 $\epsilon_s = 11.9 \times 8.85 \times 10^{-12} \text{ F/m}$ (Si の誘電率)
 $\epsilon_{ox} = 3.9 \times 8.85 \times 10^{-12} \text{ F/m}$ (SiO₂ " permittivity)
 $C_{ox} = \frac{\epsilon_{ox}}{t}$

伝導電子密度

Conduction electron density

$$n = N_c \exp\left(-\frac{E_c - E_f}{kT}\right)$$

ホール密度

Hole density

$$p = N_v \exp\left(-\frac{E_f - E_v}{kT}\right)$$

Acceptor density $N_A = 1 \times 10^{16} / \text{cm}^3$



反轉狀態

$$4_0 + 4_s$$

V_{th}
値
電圧

threshold

Charge density

電荷密度

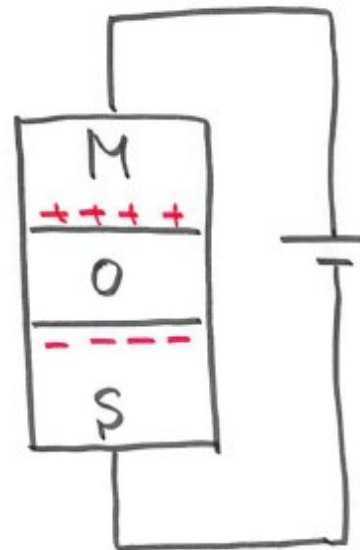
0.91eV

Depletion layer

鈴

0.7eV
($\psi_s=0.7V$)

0.21eV

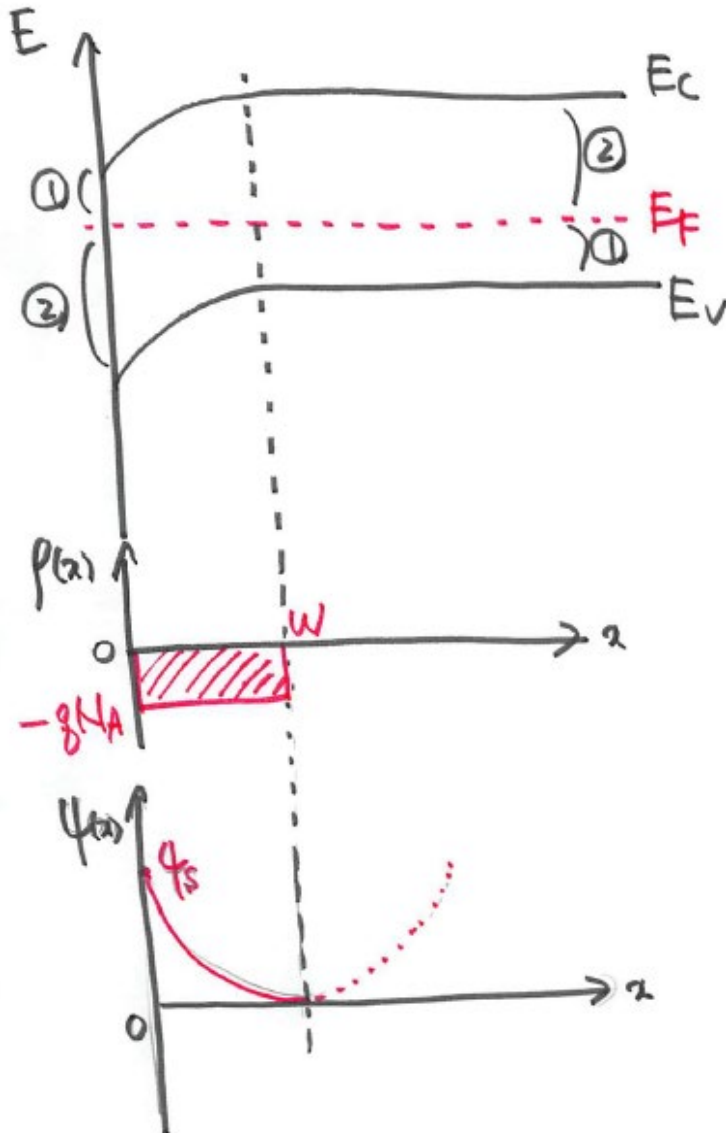


Evaluation of surface potential

表面ポテンシャルの導出.

Poisson's equation

Poisson 方程式



$$\frac{d^2\psi(x)}{dx^2} = -\frac{\rho(x)}{\epsilon_s}$$

$-qNA$

Electric field

$$-E(x) = \frac{d\psi(x)}{dx} = \frac{qNA}{\epsilon_s}x + A = \frac{qNA}{\epsilon_s}(x-w)$$

$E(w)=0$

$$\psi(x) = \frac{qNA}{\epsilon_s} \frac{(x-w)^2}{2} + B$$

$\psi(w)=0$

$$\psi_s = \psi(0) = -\frac{qNA}{2\epsilon_s}w^2$$

表面ポテンシャルの導出.

Surface potential

$$V_{th} = \psi_s + \frac{qNAw}{C_{ox}}$$

Threshold

酸化薄膜の静電容量
Capacitance of
oxide layer

Exercise1

Evaluate the depletion layer width (W) at the onset of inversion when the acceptor density in Si (N_A) is $1 \times 10^{16} / \text{cm}^3$.

Si のアクセプター濃度(N_A) を $1 \times 10^{16} / \text{cm}^3$ とする。このとき、反転状態における空乏層幅(W)を求めよ。

Band gap
Si のバンドギャップ $E_g = 1.12 \text{ eV}$, $kT = 0.026 \text{ eV}$ at 300 K ,
 $N_v = 2.66 \times 10^{19} / \text{cm}^3$, $g = 1.6 \times 10^{-19}$
 $\epsilon_s = 11.9 \times 8.85 \times 10^{-12} \text{ F/m}$ (Si の誘電率)
 $\epsilon_{ox} = 3.9 \times 8.85 \times 10^{-12} \text{ F/m}$ (SiO₂ " permittivity)
 $C_{ox} = \frac{\epsilon_{ox}}{t}$